## РАСПРОСТРАНЕНИЕ ЗВУКА В ВОЛНОВОДЕ, ИМЕЮЩЕМ ОТВЕТВЛЕНИЯ И ОБЪЕМНЫЕ РЕЗОНАТОРЫ НА СТЕНКАХ

## А. Д. Лапин

Рассмотрена задача о распространении звука в волноводе, имеющем на стенке объемный резонатор в виде камеры прямоугольного сечения. Звуковые поля в волноводе и в объемном резонаторе ищутся в виде разложения по соответственным собственным функциям. Сшиванием этих полей на границе волновода и резонатора получена бесконечная система алгебраических уравнений с постоянными коэффициентами. Эта система уравнений решена численно редукционным методом для некоторых значений параметров волновода и резонатора. Найдены частотные характеристики волновода, имеющего резонатор, и оптимальные размеры объемного резонатора, при которых получается наибольшее отражение звука.

В последнее время в различных областях техники для уменьшения передачи шума по трубам часто используются резонансные акустические фильтры [1, 2]. Для конструирования таких фильтров нужно знать решение задачи о распространении звука в волноводе, имеющем на стенках объемные резонаторы различной формы. Эта задача была рассмотрена многими авторами методом электроакустических аналогий в предположении малости поперечных размеров волновода и объемных резонаторов по сравнению с длиной волны звука, распространяющегося в волноводе [3—10]. В том же случае, когда поперечные размеры волновода и резонатора не малы по сравнению с длиной волны, эта задача была решена только для волновода прямоугольного сечения и объемного резонатора в виде прямоугольного отростка [11]. В настоящей работе получено обобщение этого решения на случай, когда объемный резонатор представляет собой камеру прямоугольного сечения. На фиг. 1 представлено сечение волновода, имеющего такой объемный резонатор, координатной плоскостью z.

Выберем в качестве падающего поля нормальную волну

$$P_0(x, y, z) = e^{i\varkappa_{rs}x} \cos k_{ry} y \cos k_{sz} z, \qquad (1)$$

где

$$k_{ry} = r\pi/b$$
,  $k_{sz} = s\pi/d$ ,  $\varkappa_{rs} = \sqrt{k^2 - k_{ry}^2 - k_{sz}^2}$ ,

d — линейный размер волновода по оси z. Найдем полное поле P в волноводе.

Обозначим дифрагированное поле в волноводе через p, а поле в камере — через  $p_1$ . Из условий непрерывности давления и нормальной составляющей скорости на границе волновода и камеры (0 < x < a, y = 0) следует, что поля p и  $p_1$  удовлетворяют следующим граничным условиям:

$$p(x, 0, z) = p_1(x, 0, z) - p_0(x, 0, z)$$
 при  $0 < x < a$ , (2)

$$(\partial p/\partial y)_{y=0} = (\partial p_{\mathbf{i}}/\partial y)_{y=0} \text{ при } 0 < x < a.$$
 (3)

На других границах поля p и  $p_1$  имеют нулевую нормальную скорость. Дифрагированное поле p и поле в камере  $p_1$  будем искать следующим образом. Вначале найдем звуковые поля в волноводе и в камере, создаваемые источниками нормальной скорости f(x, z), распределенными по гладкой стенке y=0 в интервале 0 < x < a. Эти поля будут автоматически удовлетворять граничному условию (3). Затем подберем функцию f(x, z)

так, чтобы удовлетворялось и граничное условие (2). Согласно теореме единственности построенные таким способом поля в волноводе и в камере будут тождественны искомым полям р и р1.

Разложим функцию распределения источников нормальной скорости

f(x, z) в ряд Фурье:

$$f(x,z) = \sum_{n,q} M_{nq} \cos k_{nx} x \cos k_{qz} z, \qquad (4)$$

где  $k_{nx} = n\pi/a$ . Поле в волноводе, создаваемое этими источниками, можно представить в виде \*

$$p(x, y, z) = -\sum_{m, n, q} \frac{M_{nq}}{b\theta_m (k_{nx}^2 - \varkappa_{mq}^2)} \{2\cos(k_{nx}x) - e^{i\varkappa_{mq}x} + (-1)^{n+1} e^{i\varkappa_{mq}a} e^{-i\varkappa_{mq}x} \} \cos(k_{my}y) \cos(k_{qz}z)$$
 при  $0 < x < a$ , (5)
$$p(x, y, z) = \sum_{m, q} A_{mq} e^{i\varkappa_{mq}x} \cos(k_{my}y) \cos(k_{qz}z)$$
 при  $x > a$ , (6)

$$p(x, y, z) = \sum_{m, q} B_{mq} e^{-ix_{mq}x} \cos(k_{my}y) \cos(k_{qz}z) \quad \text{при } x < 0.$$
 (7)

Здесь введены следующие обозначения:

$$A_{mq} = \sum_{n} \frac{M_{nq}}{b\theta_{m} (k_{nx}^{2} - \kappa_{mq}^{2})} \{1 + (-1)^{n+1} e^{-ia\kappa_{mq}}\};$$
 (8)

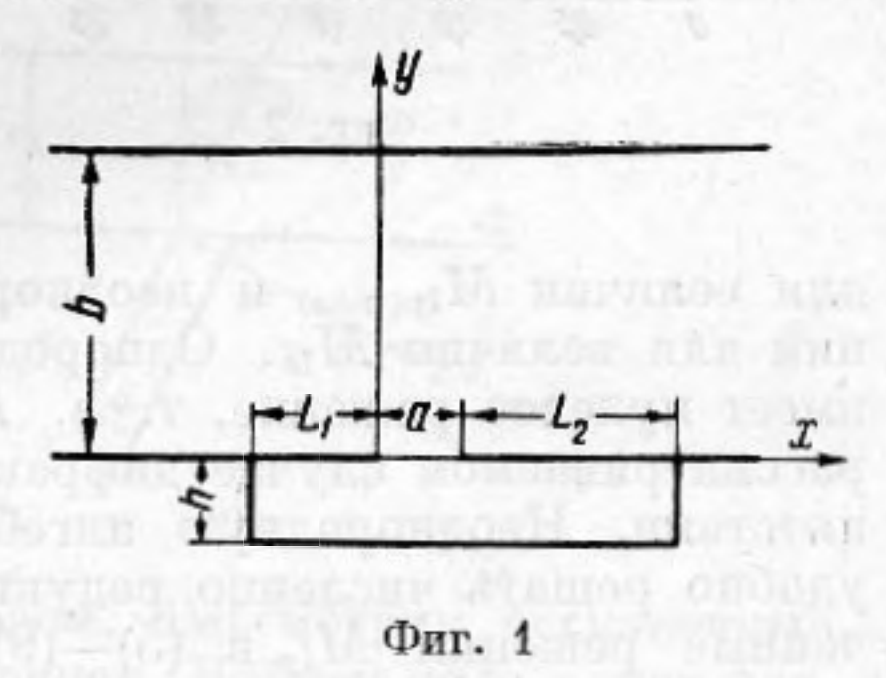
$$B_{mq} = -\sum_{n} \frac{M_{nq}}{b\theta_{m} (k_{nx}^{2} - \varkappa_{mq}^{2})} \{1 + (-1)^{n+1} e^{ia\varkappa_{mq}}\}, \quad \theta_{m} = \begin{cases} 2 & \text{при } m = 0 \\ 1 & \text{при } m \neq 0. \end{cases}$$
(9)

Суммирование по m, n и q производится от 0 до  $\infty$ .

Таким образом, дифрагированное поле в волноводе, имеющем камеру, представлено в виде суперпозиции однородных и неоднородных (затуха-

ющих) нормальных волн для соответственного волновода без камеры. Если параметры волновода таковы,  $(m/b)^2 + (q/d)^2 \le k^2/\pi^2$ , то соответственная нормальная волна является однородной; в противном случае - неоднородной.

Вычисление поля в камере, создаваемого источниками нормальной скорости (4), производится аналогично вычислению поля в волноводе. Это поле можно представить в виде



$$p_{1}(x, y, z) = -\sum_{m, n, q} \frac{2\alpha_{mn}M_{nq}}{\theta_{m}(a + L_{1} + L_{2})} \frac{\cos\left[\sqrt{k^{2} - \varkappa_{mx}^{2} - k_{qz}^{2}}(h + y)\right]}{\sqrt{k^{2} - \varkappa_{mx}^{2} - k_{qz}^{2}}\sin\left[\sqrt{k^{2} - \varkappa_{mx}^{2} - k_{qz}^{2}}h\right]} \times \cos\left[\varkappa_{mx}(L_{1} + x)\right]\cos(k_{qz}z),$$

$$(10)$$

где  $\varkappa_{mx} = m\pi/(a + L_1 + L_2),$ 

$$lpha_{mx} = m\pi/(a + L_1 + L_2),$$
 $lpha_{mn} = \begin{cases} rac{a\,\theta_n}{2}\cos{(k_{nx}L_1)} & \text{при } m = rac{(a + L_1 + L_2)}{a} & n \end{cases}$ 
 $lpha_{mn} = \begin{cases} rac{lpha_n}{2}\cos{(k_{nx}L_1)} & \text{при } m = rac{(a + L_1 + L_2)}{a} & n \end{cases}$ 
 $lpha_{mn} = \begin{cases} rac{lpha_n}{2}\cos{(k_{nx}L_1)} & \text{при } m = rac{(a + L_1 + L_2)}{a} & n \end{cases}$ 
при  $m \neq rac{(a + L_1 + L_2)}{a} n.$ 

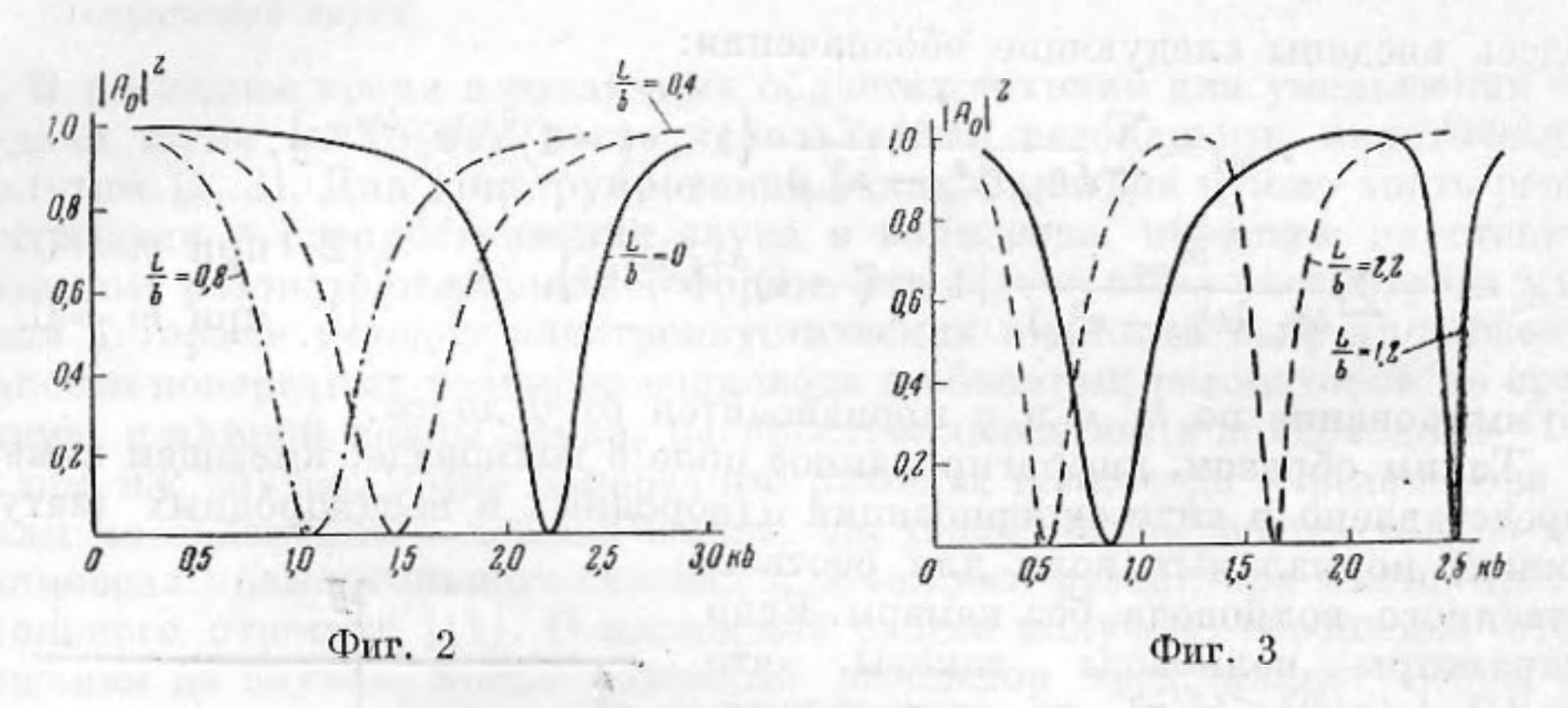
<sup>\*</sup> Метод нахождения этого поля аналогичен изложенному в работе [12].

Удовлетворим теперь граничному условию (2). Это можно сделать, подбирая соответствующим образом коэффициенты  $M_{nq}$ . Подставим (5) и (10) в (2), умножим обе части полученного соотношения на  $\cos k_{lx}x \times$  $\times \cos k_{pz}$ z и проинтегрируем по отверстию камеры. Тогда мы получим бесконечную систему алгебраических уравнений \* для коэффициентов  $M_{1p}$ :

$$\sum_{m,n} \frac{M_{np}}{b\theta_{m} (k_{kx}^{2} - \varkappa_{mp}^{2})} \left\{ a\theta_{l}\delta_{l,n} + \frac{i\varkappa_{mp}}{(k_{lx}^{2} - \varkappa_{mp}^{2})} \left( [1 + (-1)^{l+n}] - (-1)^{l} + (-1)^{n} \right] e^{i\varkappa_{mp}a} \right\} = \frac{i\varkappa_{rs}\delta_{s,p}}{(k_{lx}^{2} - \varkappa_{rs}^{2})} \left\{ (-1)^{l} e^{i\varkappa_{rs}a} - 1 \right\} + \sum_{m,n} \frac{2\alpha_{mn} \alpha_{ml} M_{np}}{\theta_{m} (a + L_{1} + L_{2})} \frac{\operatorname{ctg} \left[ \sqrt{k^{2} - \varkappa_{mx}^{2} - k_{pz}^{2}} h \right]}{\sqrt{k^{2} - \varkappa_{mx}^{2} - k_{pz}^{2}}} , \tag{11}$$

где  $\delta_{s, p} = \begin{cases} 1 & \text{при } s = p \\ 0 & \text{при } s \neq p. \end{cases}$ 

Эта система уравнений распадается на две независимые бесконечные системы уравнений - однородную алгебраическую систему уравнений



для величин  $M_{lp(p+s)}$  и неоднородную алгебраическую систему уравнений для величин  $M_{ls}$ . Однородная алгебраическая система уравнений имеет нулевое решение, т. е.  $M_{lp(p\neq s)}\equiv 0$ . Это обусловлено тем, что в рассматриваемом случае дифракция звука происходит на плоском препятствии. Неоднородную алгебраическую систему уравнений для  $M_{ls}$ удобно решать численно редукционным методом [13]. Подставляя полученные решения  $M_{lp}$  в (5)—(9), получим дифрагированное поле p и, следовательно, найдем полное поле  $P=p_0+p$ . Очевидно, что амплитуды нормальных воли  $A_{mq(q \neq s)}$  и  $B_{mq(q \neq s)}$  будут тождественно равны нулю, т. е. поля p и P будут иметь ту же зависимость от координаты z, что и поле  $p_0$ .

Ниже приведены графики, рассчитанные указанным способом для некоторых значений параметров волновода и резонансной камеры. Для определенности все эти графики рассчитаны для симметричной камеры, т. е. при условии  $L_1 = L_2 \equiv L$ . В качестве падающего поля везде вы-

брана нулевая нормальная волна.

На фиг. 2 и 3 представлены графики частотной зависимости квадрата амплитуды  $|A_0|^2$  прошедшей нулевой нормальной волны, рассчитанные по точной теории при  $\frac{a}{b} = \frac{h}{b} = 0,5$  для различных значений параметра

<sup>\*</sup> При  $L_1 = L_2 = 0$  эта система уравнений переходит в соответственную систему уравнений, полученную в работе [11].

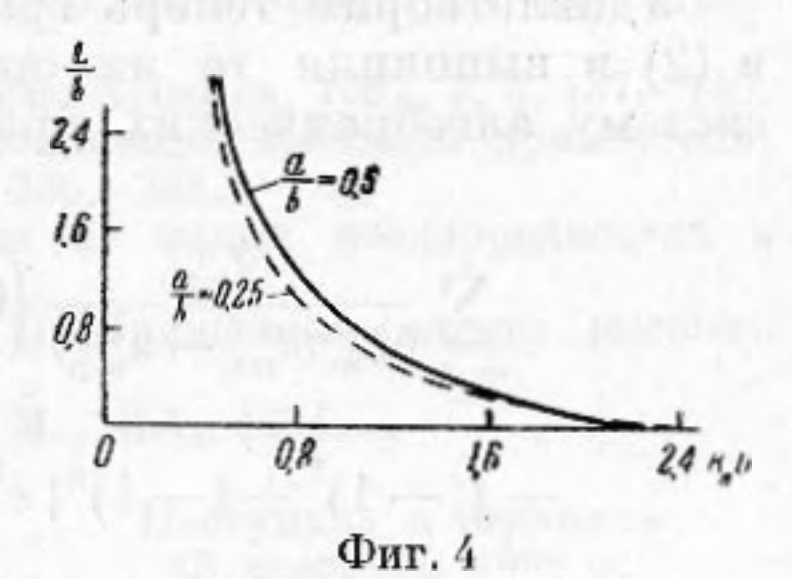
L/b. Из этих графиков можно определить оптимальное значение параметра L/b, при котором происходит наиболее эффективное отражение звука заданной частоты  $\omega_0$ . На фиг. 4 приведен график зависимости оптимальной величины параметра L/b в функции  $k_0b=\frac{\omega_0}{c}b$ . Сплошная и пунктирная линии на этом графике относятся соответственно к случаям a/b=0.5 и a/b=0.25.

На фиг. 5 приведен график относительной ширины частотной кривой  $\Delta \omega/\omega_0$  на уровне 0,5 для квадрата амплитуды прошедшей нулевой нормаль-

ной волны в функции  $k_0b$ . Этот график показывает быстрое уменьшение относительной ширины частотной кривой при повышении частоты звука, который нужно отразить.

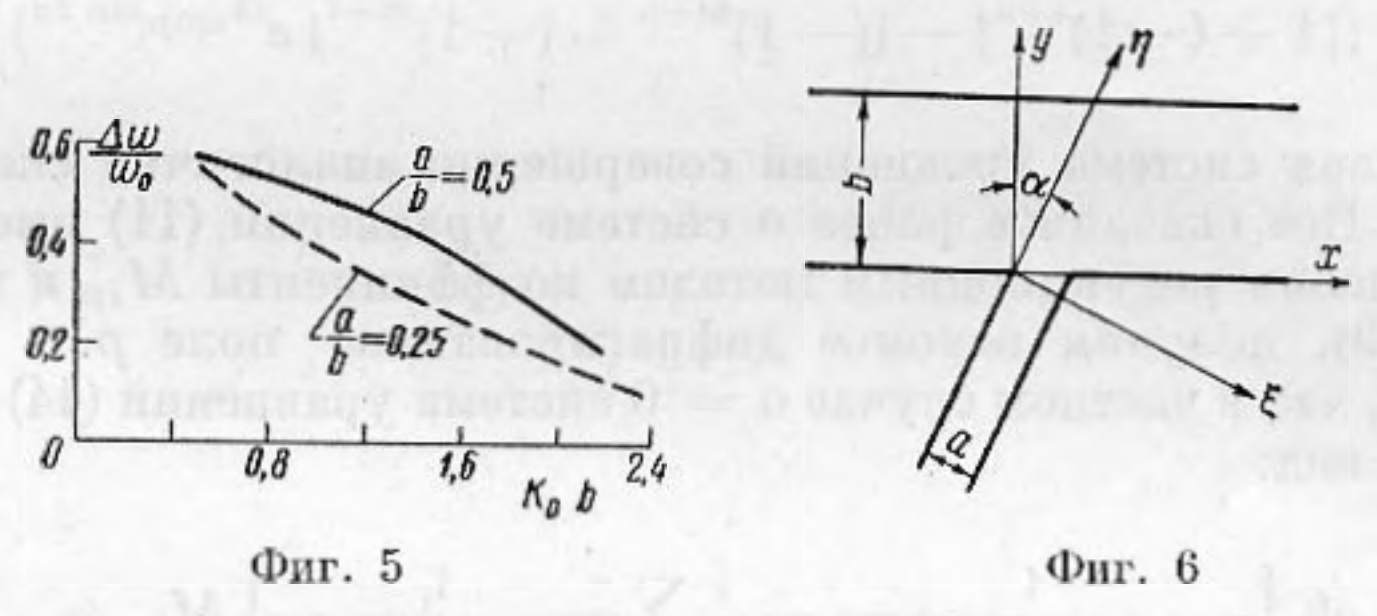
Последние два графика могут быть использованы для выбора параметров камеры при проектировании резонансных отражателей («глушителей») звука на заданную частоту.

Вышеизложенный метод нахождения дифрагированного поля в волноводе можно



применить и к другим более сложным дифракционным задачам. Рассмотрим этим методом задачу о распространении звука в волноводе, имеющем ответвление (фиг. 6). В качестве падающего поля здесь, как и ранее, выберем нормальную волну (1).

В соответствии с предыдущим, вначале найдем поле  $p_1$  в ответвлении, создаваемое источниками нормальной скорости (4), распределенными по гладкой стенке y=0 в интервале 0 < x < a. Что же касается соответственного поля в волноводе, то оно, как и прежде, выражается формулами (5)— (9).



Поле  $p_1$  будем искать следующим образом. Рассмотрим бесконечный волновод, совпадающий при y < 0 с ответвлением. Найдем поле в этом волноводе, создаваемое источниками объемной скорости  $F(x, y, z) = 2f(x, z) \, \delta(y)$ , где функция f(x, z) определяется формулой (4). При y < 0 это поле будет совпадать с искомым полем  $p_1$ .

Поле в волноводе, создаваемое распределенными источниками объемной скорости, было вычислено в работе [12]. Используя результаты этой работы, получим

$$p_{1}(\xi, \eta, z) = \sum_{m, n, q} \frac{2 \sin \alpha M_{nq}}{\theta_{m} a \{ [k_{nx}^{2} + k_{mx}^{2} - k_{nmq}^{2} \sin^{2} \alpha]^{2} - 4k_{nx}^{2} k_{mx}^{2} \}} \times$$

$$\times \left\{ 4k_{nx}k_{mx} \sin \left( \frac{k_{nx} \eta}{\sin \alpha} \right) \sin \left( \frac{k_{mx} \eta}{\sin \alpha} \right) + (k_{nx}^{2} + k_{mx}^{2} - k_{nmq}^{2} \sin^{2} \alpha) \times \right.$$

$$\times \left[ 2 \cos \left( \frac{k_{nx} \eta}{\sin \alpha} \right) \cos \left( \frac{k_{mx} \eta}{\sin \alpha} \right) + (-1)^{n+m+1} e^{ik_{\eta mq} \sin \alpha a} e^{-ik_{\eta mq} \eta} - (12) \right.$$

$$\left. - e^{ik_{\eta mq} \eta} \right] \right\} \cos (k_{m\xi} \xi) \cos (k_{qz} z) \text{ при } 0 < \eta < a \sin \alpha;$$

$$p_1(\xi, \eta, z) =$$

$$= \sum_{m,n,q} \frac{2 \sin \alpha M_{nq}}{\theta_m a} \frac{[k_{nx}^2 + k_{mx}^2 - k_{\eta mq}^2 \sin^2 \alpha] [1 + (-1)^{n+m+1} e^{ik_{\eta mq} \alpha \sin \alpha}]}{\{[k_{nx}^2 + k_{mx}^2 - k_{\eta mq}^2 \sin^2 \alpha]^2 - 4k_{nx}^2 k_{mx}^2\}} \times e^{-ik_{\eta mq} n} \cos (k_{m\xi} \xi) \cos (k_{qz} z) \text{ при } \eta < 0,$$

$$(13)$$

где  $k_{m\xi} = m\pi / a\cos\alpha$ ,  $k_{\eta mq} = V k^2 - k_{m\xi}^2 - k_{qz}^2$ .

Удовлетворим теперь граничному условию (2). Подставляя (5) и (12) в (2) и выполняя те же операции, что и ранее, получим бесконечную систему алгебраических уравнений для коэффициентов  $M_{lp}$ :

$$\sum_{m,n} \frac{M_{np}}{b\theta_{m}(k_{nx}^{2} - \varkappa_{mp}^{2})} \left\{ \theta_{l} a \delta_{l,n} + \frac{i\varkappa_{mp}}{(k_{lx}^{2} - \varkappa_{mp}^{2})} \left( [1 + (-1)^{l+n}] - \frac{i\varkappa_{mp}}{(k_{lx}^{2} - \varkappa_{mp}^{2})} \right) \right\} = \frac{i\varkappa_{rs} \delta_{s,p}}{(k_{lx}^{2} - \varkappa_{rs}^{2})} \left[ (-1)^{l} e^{i\varkappa_{rs} a} - 1 \right] - \frac{\sin \alpha M_{np}}{2\theta_{m} \left[ (k_{nx}^{2} + k_{mx}^{2} - k_{\eta mp}^{2} \sin^{2} \alpha)^{2} - 4k_{nx}^{2} k_{mx}^{2} \right]} \left\{ 2k_{nx} k_{mx} \left[ \delta_{0,n-2m+l} + \delta_{0,n-2m+l} - \delta_{0,n+2m-l} \right] + (k_{nx}^{2} + k_{mx}^{2} - k_{\eta mp}^{2} \sin^{2} \alpha) \times \right. \\
\left. \times \left( \left[ \delta_{0,n-2m+l} + \delta_{0,n-2m-l} + 2\theta_{l} \delta_{l,n} + \delta_{0,n+2m+l} + \delta_{0,n+2m-l} \right] + \frac{i4k_{\eta mp} \sin \alpha}{a} \frac{\left[ k_{mx}^{2} + k_{lx}^{2} - k_{\eta mp}^{2} \sin^{2} \alpha \right]}{\left[ (k_{mx}^{2} - k_{lx}^{2} - k_{\eta mp}^{2} \sin^{2} \alpha)^{2} - 4k_{mx}^{2} k_{lx}^{2} \right]} \times \\
\times \left\{ \left[ 1 + (-1)^{l+n} \right] - \left[ (-1)^{m+n} + (-1)^{m+l} \right] e^{ik_{\eta mp} \sin \alpha a} \right\} \right\}.$$

Полученная система уравнений совершенно аналогична системе уравнений (11). Все сказанное ранее о системе уравнений (11) имеет место и здесь. Вычисляя редукционным методом коэффициенты  $M_{lp}$  и подставляя их в (5)—(9), получим искомое дифрагированное поле p.

Заметим, что в частном случае  $\alpha = 0$  система уравнений (14) принимает следующий вид:

$$\begin{split} a\theta_{l} \left\{ & \frac{1}{2\sqrt{k^{2}-k_{lx}^{2}-k_{pz}^{2}}} - \frac{i}{b} \sum_{m} \frac{1}{\theta_{m} (k_{lx}^{2}-\varkappa_{mp}^{2})} \right\} M_{lp} = \\ & = \frac{\varkappa_{rs} \, \delta_{s, \ p}}{(k_{lx}^{2}-\varkappa_{rs}^{2})} \left[ (-1)^{l} \, e^{i \varkappa_{rs} a} - 1 \right] - \end{split}$$

$$-\sum_{m,n} \frac{\varkappa_{mp} M_{np}}{b\theta_m (k_{nx}^2 - \varkappa_{mp}^2) (k_{lx}^2 - \varkappa_{mp}^2)} \{ [1 + (-1)^{l+n}] - [(-1)^l + (-1)^n] e^{i\varkappa_{mp} a} \}.$$
(15)

Аналог алгебраической системы уравнений (15) для электромагнитного случая был получен ранее в работе [14].

## ЛИТЕРАТУРА

1. D. Devis and others. Theoretical and experimental investigation of mulflers with comments on engine-exhaust muffler design. NACA Rep., 1954, 1192.

2. Е. Я. Ю дин. Исследование шума вентиляторных установок и методов борьбы с ним. М., Оборонгиз, 1958.

3. G. W. Stewart. Acoustic wave filters. Phys. Rev., 1922, 20, 528-551.

4. G. W. Stewart. Acoustic wave filters: attenuation and phase factors. Phys. Rev., 1924, 23, 520-524.

6. G. W. Stewart. Acoustic wave filters: an extension of the theory. Phys. Rev.,

1925, 25, 90-98.

1001910820

 W. P. Mason. A study of the regular combination of acoustic elements, with application to recurrent acoustic filters, tapered acoustic filters, and horns. Bell. Syst. Tech. J., 1927, 7, 258—294.

7. G. W. Stewart, R. B. Lindsay. Acoustics. N. Y., 1930.

- 8. E. Waetzmann, F. Noether. Über akustische Filter. Ann. Phys., 1932, 13, 212-228.
- W. P. Mason. Electromechanical transducers and wave filters. D. van Nostrand Comp. Inc., N. Y., 1946.

10. W. K. R. Lippert. Sound propagation in ducts. Acustica, 1957, 7, 3, 137-145.

11. А. Д. Лапин. О распространении звука в волноводе, имеющем прямоугольные канавки на стенках. Акуст. ж., 1960, 6, 2, 236—243.

12. М. А. Исакович. Рассеяние звуковых воли на малых неоднородностях в волноводе. Акуст. ж., 1957, 3, 1, 37—45.

13. Л. В. Канторович, В. И. Крылов. Приближенные методы высшего анализа. М., ГИТТЛ, 1949.

van se inquismussia . In mar iomolios arrestanto tempe Josephore vinoredente

end organism rations o nonviorstrucki crupalites. Inpermentally tro see

THE STRUMENTS CONTINUED IN THE COURT E CENTRE (CAS. MARROWY). CONCERNS

этреститивность колебания, причем жизие забе ини дейовыми иниворием

as gr ), are represent the same property and the same property of the same of

COLUMN TO THE TOTAL THE SAME PROJECT COMMENTS OF THE PROPERTY OF THE PROPERTY

Translation of the property of

To experimental and the first and the control of the state of the state of the property of the control of the c

THE PROPERTY OF THE PROPERTY O

анарация ини, полабличную на применты представления двинения.

и и примуженерци какия видког бинантык жоры тоб и положе кеди запидинорые и

Control of the State of the Control of the State of the S

The state of the property of t

A STATE OF THE PARTY OF THE PAR

the property of the property of

The Angles of the State of the

CONTRACTOR ATTEMPTED CHARGE SECURITIES

14. Л. Левин. Современная теория волноводов. М., ИЛ, 1954.

жизандания институрования и институрова жализания выпросон

Акустический институт АН СССР Москва

tiple of the state of the annual state of the state of th

Поступила в редакцию 15 сентября 1960 г.